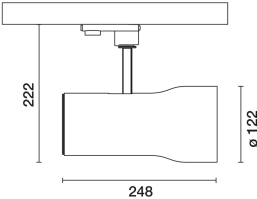


Última actualización de la información: Junio 2025

Configuraciones productos: 537A
537A: Proyector SIPARIO Ø122 - DALI - WideFlood - OBLens -



Código producto
537A: Proyector SIPARIO Ø122 - DALI - WideFlood - OBLens -

Descripción
Proyector orientable Ø122 con adaptador para instalación en base o riel de tensión de red. Lámpara led con tecnología C.o.B (Chip on Board) de alto rendimiento cromático -CRI97- tono 3500K.
Cuerpo de aluminio fundido a presión con tapón trasero y anillo frontal de material termoplástico (Mass-Balance). El producto permite una rotación de 360° alrededor del eje vertical con bloqueo mecánico y una inclinación de 90° con respecto a la superficie horizontal. Disipación pasiva del calor.
Sistema óptico OptiBeam Lens con óptica Wideflood.
Alimentador electrónico regulable DALI-2 integrado en el cuerpo de iluminación.
Proyector con sistema Push&Go diseñado para facilitar y agilizar de manera segura el acoplamiento entre el producto y el accesorio óptico. La desconexión mecánica permite desenganchar el accesorio sin riesgo de que se caiga. Posibilidad de utilizar hasta tres accesorios internos y uno externo al mismo tiempo. Todos los accesorios internos y externos pueden girar 360° respecto al eje longitudinal del proyector.

Instalación
Base o riel de tensión de red.

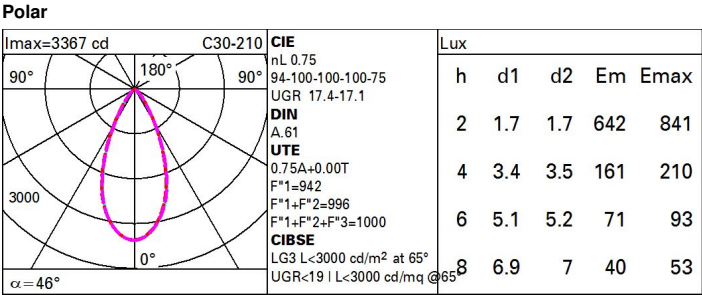
| | |
|--------------------------------|------------------|
| Colores | Peso (Kg) |
| Blanco (01) Negro opaco (V0) | 1.82 |

Montaje
riel trifásico

Se conforma con EN60598-1 y regulaciones pertinentes



| Datos técnicos | | | |
|-------------------------------------------------------------|------|--------------------------------------|---------------------------------|
| Im de sistema: | 2190 | CRI (mínimo): | 97 |
| W de sistema: | 29.4 | Temperatura de color [K]: | 3500 |
| Im de la fuente: | 2920 | MacAdam Step: | 2 |
| W de la fuente: | 26 | Life time (vida útil) LED 1: | > 50,000h - L90 - B10 (Ta 25°C) |
| Eficiencia luminosa (lm/W, valor del sistema): | 74.5 | Código de lámpara: | LED |
| Im en modo emergencia: | - | Número de lámparas por grupo óptico: | 1 |
| Flujo total de emisión en un ángulo de 90° o superior [Lm]: | 0 | Código ZVEI: | LED |
| Light Output Ratio (L.O.R.) [%]: | 75 | Número de grupos ópticos: | 1 |
| Ángulo de apertura del haz de luz [°]: | 46° | Control: | DALI-2 |



Coefficientes de uso

| R | 77 | 75 | 73 | 71 | 55 | 53 | 33 | 00 | DRR |
|------|----|----|----|----|----|----|----|----|-----|
| K0.8 | 66 | 62 | 59 | 57 | 61 | 59 | 58 | 56 | 74 |
| 1.0 | 69 | 66 | 63 | 61 | 65 | 62 | 62 | 59 | 79 |
| 1.5 | 73 | 70 | 68 | 67 | 70 | 68 | 67 | 65 | 86 |
| 2.0 | 76 | 74 | 72 | 71 | 73 | 71 | 70 | 68 | 91 |
| 2.5 | 77 | 76 | 74 | 73 | 75 | 73 | 73 | 70 | 94 |
| 3.0 | 78 | 77 | 76 | 75 | 76 | 75 | 74 | 72 | 96 |
| 4.0 | 79 | 78 | 78 | 77 | 77 | 77 | 75 | 73 | 98 |
| 5.0 | 80 | 79 | 79 | 78 | 78 | 77 | 76 | 74 | 99 |

Curva límite de luminancia

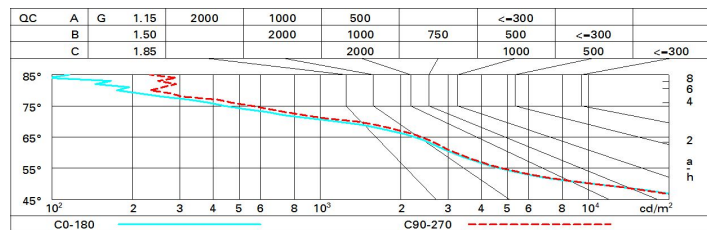


Diagrama UGR

| Corrected UGR values (at 2920 lm bare lamp luminous flux) | | | | | | | | | | | |
|------------------------------------------------------------------|------|---------------------|------|------|------|------|-------------------|------|------|------|------|
| Reflect.: ceiling/cav walls work pl. Room dim x y | | viewed crosswise | | | | | viewed endwise | | | | |
| | | 0.70 | 0.70 | 0.50 | 0.50 | 0.30 | 0.70 | 0.70 | 0.50 | 0.50 | 0.30 |
| | | 0.50 | 0.30 | 0.50 | 0.30 | 0.30 | 0.50 | 0.30 | 0.50 | 0.30 | 0.30 |
| | | 0.20 | 0.20 | 0.20 | 0.20 | 0.20 | 0.20 | 0.20 | 0.20 | 0.20 | 0.20 |
| 2H | 2H | 17.9 | 18.6 | 18.2 | 18.8 | 19.0 | 17.7 | 18.3 | 17.9 | 18.5 | 18.8 |
| | 3H | 17.8 | 18.4 | 18.1 | 18.7 | 18.9 | 17.5 | 18.1 | 17.9 | 18.4 | 18.7 |
| | 4H | 17.8 | 18.3 | 18.1 | 18.6 | 18.9 | 17.5 | 18.0 | 17.8 | 18.3 | 18.6 |
| | 6H | 17.7 | 18.2 | 18.0 | 18.5 | 18.8 | 17.4 | 17.9 | 17.7 | 18.2 | 18.5 |
| | 8H | 17.6 | 18.1 | 18.0 | 18.4 | 18.8 | 17.4 | 17.8 | 17.7 | 18.2 | 18.5 |
| | 12H | 17.6 | 18.1 | 18.0 | 18.4 | 18.7 | 17.3 | 17.8 | 17.7 | 18.1 | 18.5 |
| 4H | 2H | 17.8 | 18.3 | 18.1 | 18.6 | 18.9 | 17.5 | 18.0 | 17.8 | 18.3 | 18.6 |
| | 3H | 17.6 | 18.1 | 18.0 | 18.4 | 18.8 | 17.3 | 17.8 | 17.7 | 18.1 | 18.5 |
| | 4H | 17.6 | 17.9 | 18.0 | 18.3 | 18.7 | 17.3 | 17.7 | 17.7 | 18.0 | 18.4 |
| | 6H | 17.5 | 17.8 | 17.9 | 18.2 | 18.6 | 17.2 | 17.5 | 17.6 | 17.9 | 18.3 |
| | 8H | 17.4 | 17.7 | 17.9 | 18.1 | 18.6 | 17.1 | 17.4 | 17.6 | 17.9 | 18.3 |
| | 12H | 17.4 | 17.7 | 17.8 | 18.1 | 18.5 | 17.1 | 17.4 | 17.5 | 17.8 | 18.2 |
| 8H | 4H | 17.4 | 17.7 | 17.9 | 18.1 | 18.6 | 17.1 | 17.4 | 17.6 | 17.9 | 18.3 |
| | 6H | 17.3 | 17.6 | 17.8 | 18.0 | 18.5 | 17.0 | 17.3 | 17.5 | 17.7 | 18.2 |
| | 8H | 17.3 | 17.5 | 17.8 | 18.0 | 18.5 | 17.0 | 17.2 | 17.5 | 17.7 | 18.2 |
| | 12H | 17.2 | 17.4 | 17.7 | 17.9 | 18.4 | 16.9 | 17.1 | 17.4 | 17.6 | 18.1 |
| 12H | 4H | 17.4 | 17.7 | 17.8 | 18.1 | 18.5 | 17.1 | 17.4 | 17.5 | 17.8 | 18.2 |
| | 6H | 17.3 | 17.5 | 17.8 | 18.0 | 18.5 | 17.0 | 17.2 | 17.5 | 17.7 | 18.2 |
| | 8H | 17.2 | 17.4 | 17.7 | 17.9 | 18.4 | 16.9 | 17.1 | 17.4 | 17.6 | 18.1 |
| Variations with the observer position at spacing: | | | | | | | | | | | |
| S = | 1.0H | 4.2 / -9.7 | | | | | 3.9 / -9.6 | | | | |
| | 1.5H | 6.9 / -12.0 | | | | | 6.6 / -12.0 | | | | |
| | 2.0H | 8.9 / -13.9 | | | | | 8.6 / -14.3 | | | | |